

01;03

Об устойчивости капиллярных волн с произвольной симметрией на поверхности струи в периодическом во времени продольном электрическом поле

© А.И. Григорьев, С.О. Ширяева

Ярославский государственный университет им. П.Г. Демидова,
150000 Ярославль, Россия
e-mail: grig@uniyar.ac.ru

(Поступило в Редакцию 1 декабря 2010 г.)

Проанализировано дифференциальное уравнение, являющееся уравнением Матъе, описывающее временную эволюцию амплитуд капиллярных волн с произвольной симметрией (с произвольными азимутальными числами) на поверхности цилиндрической струи несжимаемой диэлектрической жидкости в коллинеарном оси симметрии невозмущенной волновым движением струи периодическом во времени однородном электрическом поле. Выяснилось, что переменное во времени давление внешнего электрического поля приводит к параметрической раскочке как осесимметричных волн на поверхности струи, так и изгибных, и изгибно-деформационных. При фиксированной частоте внешнего поля возможна одновременная раскочка волн различной длины с различной симметрией (с различными азимутальными числами) в главном демультипликационном резонансе, а также во вторичном и третичном резонансах. Параметрическая раскочка изгибно-деформационных волн имеет пороговый характер по частоте внешнего поля, т.е. реализуется при частоте поля, превышающей некоторое минимальное значение, определяемое радиусом струи и физико-химическими характеристиками жидкости.

Введение

Несмотря на обилие теоретических и экспериментальных работ по изучению капиллярной неустойчивости движущейся струи жидкости феномена дробления ее на отдельные капли, многое в физике происходящих процессов остается до сих пор не выясненным и по-прежнему привлекает внимание исследователей (см., например, [1–3]). Сказанное, в частности, относится к анализу физических закономерностей распада струи в переменном во времени продольном электрическом поле. Впервые эта тема была поднята в [4], где получено уравнение, описывающее временную эволюцию амплитуды осесимметричной волны на поверхности цилиндрической струи идеальной несжимаемой жидкости в продольном периодическом во времени электрическом поле, которое оказалось уравнением Матъе. В последние годы вопрос об устойчивости струи в продольном переменном во времени электрическом поле не поднимался, вплоть до появления работы [5], так же как и [4], посвященной устойчивости осесимметричных волн, но в условиях тепло- и массообмена со средой. В последние годы вышли две ошибочные (и по постановке, и по полученным результатам) публикации [6,7], в которых об уравнениях Матъе даже не упоминается. Из близких по тематике работ можно упомянуть [8], где рассмотрена близкая по постановке задача об устойчивости струи в периодическом во времени радиальном электрическом поле, а также работы [9–11], в которых переменное коллинеарное поле использовалось для получения новых режимов электродиспергирования, дающих капельки субмикронных размеров. В нижеследующем рассмот-

рении будет проанализирована устойчивость неосесимметричных капиллярных волн на поверхности струи идеальной несжимаемой жидкости в периодическом во времени однородном в пространстве продольном электрическом поле.

1. Постановка задачи

Пусть имеется бесконечная цилиндрическая струя радиуса R идеальной несжимаемой диэлектрической жидкости с массовой плотностью ρ , диэлектрической проницаемостью ϵ_{in} и коэффициентом поверхностного натяжения γ , коллинеарная внешнему однородному электрическому полю, изменяющемуся во времени по закону $\mathbf{E}(t) = \mathbf{E}_0 \cos(\Omega t)$. Диэлектрическая проницаемость внешней среды обозначим ϵ_{ex} , а ее плотность будем полагать пренебрежимо малой.

В инерциальной системе координат, движущейся со скоростью поступательного движения струи, поле скоростей течения жидкости в струе $\mathbf{U}(\mathbf{r}, t)$ полностью определится капиллярными волнами на ее поверхности и в безразмерных переменных $\rho = \gamma = R = 1$, в которых будет проведено все рассмотрение, будет величиной такого же порядка малости, что и амплитуда волн. Движение жидкости будем принимать потенциальным, т.е. $\mathbf{U}(\mathbf{r}, t) \equiv \nabla \psi(\mathbf{r}, t)$, где $\psi(\mathbf{r}, t)$ — потенциал поля скоростей волнового движения жидкости. Зададимся целью исследования устойчивости капиллярных волн с произвольной симметрией на поверхности такой струи.

Весь анализ проведем в цилиндрической системе координат $\{r, \varphi, z\}$ с осью OZ , орг \mathbf{n}_z которой совпадает по направлению с осью симметрии цилиндрической

струи. Уравнение свободной поверхности струи, возмущенной тепловым (порождаемым тепловым движением молекул жидкости, имеющим размерные амплитуды $\sim \sqrt{\kappa T/\gamma}$, где κ — постоянная Больцмана, T — абсолютная температура [12]) капиллярным волновым движением запишем в виде

$$F(r, \varphi, z, t) \equiv r - (1 + \xi(\varphi, z, t)) = 0.$$

В этом соотношении $\xi(\varphi, z, t)$ — возмущение цилиндрической поверхности струи, вызванное капиллярным волновым движением.

Математическая формулировка задачи о расчете капиллярного волнового течения жидкости в струе идеальной несжимаемой жидкости состоит из уравнений гидродинамики и электростатики (в предположении, что скорость движения жидкости много меньше релятивистской), т.е. $\mathbf{E}_j = -\nabla\Phi_j(\mathbf{r}, t)$, $j \in \{\text{in}; \text{ex}\}$

$$\Delta\psi(\mathbf{r}, t) = 0, \quad \Delta\Phi_{\text{in}}(\mathbf{r}, t) = 0, \quad \Delta\Phi_{\text{ex}}(\mathbf{r}, t) = 0,$$

с граничными условиями

$$r = 1 + \xi: \quad \frac{dF}{dt} \equiv \frac{\partial F}{\partial t} + \nabla\psi\nabla F = 0,$$

$$P_{\text{in}} - P_{\text{ex}} + P_E = P_\gamma, \quad \varepsilon_{\text{in}}[\mathbf{n}\nabla\Phi_{\text{in}}(\mathbf{r}, t)] = \varepsilon_{\text{ex}}[\mathbf{n}\nabla\Phi_{\text{ex}}(\mathbf{r}, t)],$$

$$\boldsymbol{\tau}\nabla\Phi_{\text{in}}(\mathbf{r}, t) = \boldsymbol{\tau}\nabla\Phi_{\text{ex}}(\mathbf{r}, t),$$

$$r \rightarrow 0: \quad \nabla\psi(\mathbf{r}, t) \rightarrow 0, \quad \Phi_{\text{in}}(\mathbf{r}, t) < \infty,$$

$$r \rightarrow \infty: \quad -\nabla\Phi_{\text{ex}}(\mathbf{r}, t) = \mathbf{E}_0 \cos(\Omega t),$$

$\boldsymbol{\tau}$ и \mathbf{n} — единичные векторы касательной и нормали к возмущенной поверхности струи, $\Phi_{\text{in}}(\mathbf{r}, t)$ и $\Phi_{\text{ex}}(\mathbf{r}, t)$ — электростатические потенциалы в струе и в среде соответственно, P_{ex} — давление во внешней среде,

$$P_{\text{in}}(\mathbf{r}, t) = P_{\text{in}}^{(0)} - \frac{\partial\psi(\mathbf{r}, t)}{\partial t} - \frac{1}{2}(\nabla\psi(\mathbf{r}, t))^2$$

— поле давлений внутри струи, $P_{\text{in}}^{(0)}$ — постоянное давление в цилиндрической струе в отсутствие волнового движения в ней, $P_\gamma \equiv \text{div } \mathbf{n}$ — давление сил поверхностного натяжения, P_E — давление электрического поля на поверхность капли [13]

$$P_E = -\frac{\varepsilon_{\text{ex}}}{8\pi} \left[(\nabla\Phi_{\text{ex}})^2 - 2(\mathbf{n}\nabla\Phi_{\text{ex}})^2 \right] + \frac{\varepsilon_{\text{in}}}{8\pi} \left[(\nabla\Phi_{\text{in}})^2 - 2(\mathbf{n}\nabla\Phi_{\text{in}})^2 \right].$$

Кроме выписанных условий должно выполняться требование постоянства объема участка струи, длина которого равна длине волны λ

$$\int_{z_0}^{z_0+\lambda} \int_0^{1+\xi} \int_0^{2\pi} dz r dr d\varphi = 2\pi\lambda.$$

2. Разбиение по порядкам малости

Малым параметром сформулированной задачи является безразмерная амплитуда волновой деформации поверхности струи $\varepsilon \equiv \max |\xi(\varphi, z, t)|$. Искомые функции деформации поверхности $\xi(\varphi, z, t)$ и гидродинамический потенциал волнового течения жидкости в струе $\psi(\mathbf{r}, t)$ являются малыми первого порядка по ε . Потенциалы электрического поля $\Phi_{\text{in}}(\mathbf{r}, t)$ и $\Phi_{\text{ex}}(\mathbf{r}, t)$ содержат как слагаемые нулевого, так и первого порядков малости, и их можно представить в виде

$$\Phi_{\text{in}}(\mathbf{r}, t) \equiv \Phi_{\text{in}}^{(0)}(\mathbf{r}, t) + \phi_{\text{in}}(\mathbf{r}, t),$$

$$\Phi_{\text{ex}}(\mathbf{r}, t) \equiv \Phi_{\text{ex}}^{(0)}(\mathbf{r}, t) + \phi_{\text{ex}}(\mathbf{r}, t),$$

где $\Phi_{\text{in}}^{(0)}(\mathbf{r}, t)$ и $\Phi_{\text{ex}}^{(0)}(\mathbf{r}, t)$ — слагаемые нулевого порядка малости по ε , а $\phi_{\text{in}}(\mathbf{r}, t)$ и $\phi_{\text{ex}}(\mathbf{r}, t)$ — первого. В этой связи сформулированную задачу следует разбить по порядкам малости.

2.1. В нулевом порядке малости по ε будем иметь невозмущенный волновым движением цилиндр в коллинеарном его оси электростатическом поле. Это означает, что гидродинамических движений не будет, а оставшиеся искомые величины не будут зависеть от координат r и φ цилиндрической системы координат. В итоге получим задачу

$$\frac{\partial^2 \Phi_{\text{in}}^{(0)}(\mathbf{r}, t)}{\partial z^2} = 0, \quad \frac{\partial^2 \Phi_{\text{ex}}^{(0)}(\mathbf{r}, t)}{\partial z^2} = 0$$

с граничными условиями

$$r = 1: \quad \frac{\partial \Phi_{\text{in}}^{(0)}(\mathbf{r}, t)}{\partial z} = \frac{\partial \Phi_{\text{ex}}^{(0)}(\mathbf{r}, t)}{\partial z},$$

$$P_{\text{in}}^{(0)}(\mathbf{r}, t) - P_{\text{ex}} + \frac{(\varepsilon_{\text{in}} - \varepsilon_{\text{ex}})}{8\pi} \left(\frac{\partial \Phi_{\text{in}}^{(0)}(\mathbf{r}, t)}{\partial z} \right)^2 = 1,$$

$$r \rightarrow 0: \quad \Phi_{\text{in}}(\mathbf{r}, t) < \infty,$$

$$r \rightarrow \infty: \quad -\nabla\Phi_{\text{ex}}^{(0)}(\mathbf{r}, t) = \mathbf{E}_0 \cos(\Omega t),$$

$$\int_{z_0}^{z_0+\lambda} \int_0^1 \int_0^{2\pi} dz r dr d\varphi = \pi\lambda.$$

Решение этой задачи находится легко

$$\Phi_{\text{in}}^{(0)}(\mathbf{r}, t) = -\mathbf{E}_0 z \cos(\Omega t), \quad \Phi_{\text{ex}}^{(0)}(\mathbf{r}, t) = -\mathbf{E}_0 z \cos(\Omega t),$$

$$\Delta P \equiv (P_{\text{in}}^{(0)} - P_{\text{ex}}) = 1 - (\varepsilon_{\text{in}} - \varepsilon_{\text{ex}}) \frac{\mathbf{E}_0^2 \cos^2(\Omega t)}{8\pi}. \quad (1)$$

2.2. В первом порядке малости по ε будем иметь задачу

$$\Delta\psi(\mathbf{r}, t) = 0, \quad \Delta\phi_{\text{in}}(\mathbf{r}, t) = 0, \quad \Delta\phi_{\text{ex}}(\mathbf{r}, t) = 0$$

с граничными условиями

$$\begin{aligned}
 r = 1: \quad & \frac{\partial \xi}{\partial t} = \frac{\partial \psi}{\partial r}, \\
 & -\frac{\partial \psi}{\partial t} + \frac{(\varepsilon_{\text{in}} - \varepsilon_{\text{ex}})}{8\pi} \left[2 \frac{\partial \Phi_{\text{ex}}^{(0)}}{\partial z} \frac{\partial \phi_{\text{ex}}^{(0)}}{\partial z} - \left(1 - \frac{\varepsilon_{\text{ex}}}{\varepsilon_{\text{in}}} \right) \right. \\
 & \left. \times \left(\frac{\partial \phi_{\text{ex}}}{\partial r} - \frac{\partial \Phi_{\text{ex}}^{(0)}}{\partial z} \frac{\partial \xi}{\partial z} \right) \right] = - \left[\xi + \frac{\partial^2 \xi}{\partial z^2} + \frac{\partial^2 \xi}{\partial \varphi^2} \right], \\
 \varepsilon_{\text{in}} \left[\frac{\partial \phi_{\text{in}}(\mathbf{r}, t)}{\partial r} - \frac{\partial \Phi_{\text{in}}^{(0)}}{\partial z} \frac{\partial \xi}{\partial z} \right] &= \varepsilon_{\text{ex}} \left[\frac{\partial \phi_{\text{ex}}(\mathbf{r}, t)}{\partial r} - \frac{\partial \Phi_{\text{ex}}^{(0)}}{\partial z} \frac{\partial \xi}{\partial z} \right], \\
 \frac{\partial \phi_{\text{in}}(\mathbf{r}, t)}{\partial z} &= \frac{\partial \phi_{\text{ex}}}{\partial z}, \quad \frac{\partial \phi_{\text{in}}(\mathbf{r}, t)}{\partial \varphi} = \frac{\partial \phi_{\text{ex}}}{\partial \varphi}, \\
 r \rightarrow 0: \quad & \nabla \psi(\mathbf{r}, t) \rightarrow 0, \quad |\nabla \phi_{\text{in}}(\mathbf{r}, t)| \rightarrow 0, \\
 r \rightarrow \infty: \quad & |\nabla \phi_{\text{ex}}(\mathbf{r}, t)| \rightarrow 0, \\
 & \int_{z_0}^{z_0+\lambda} \int_0^{2\pi} \xi(z, \varphi, t) dz d\varphi = 0. \quad (2)
 \end{aligned}$$

Решение задачи первого порядка малости для неизвестных функций $\xi(\varphi, z, t)$, $\psi(\mathbf{r}, t)$, $\phi_{\text{in}}(\mathbf{r}, t)$ и $\phi_{\text{ex}}(\mathbf{r}, t)$ будем искать в виде разложений по бегущим цилиндрическим волнам в виде

$$\begin{aligned}
 \xi(\varphi, z, t) &= \int_0^\infty \sum_{m=0}^\infty \alpha_m(t) \exp(im\varphi) \exp(ikz) dk, \\
 \psi(\mathbf{r}, t) &= \int_0^\infty \sum_{n=0}^\infty C_m^{(1)}(t) I_m(kr) \exp(im\varphi) \exp(ikz) dk, \\
 \phi_{\text{in}}(\mathbf{r}, t) &= \int_0^\infty \sum_{m=0}^\infty C_m^{(2)}(t) I_m(kr) \exp(im\varphi) \exp(ikz) dk, \\
 \phi_{\text{ex}}(\mathbf{r}, t) &= \int_0^\infty \sum_{n=0}^\infty C_m^{(3)}(t) I_m(kr) \exp(im\varphi) \exp(ikz) dk, \quad (3)
 \end{aligned}$$

где i — мнимая единица, k — волновое число волны, m — азимутальный параметр, $I_m(kr)$ и $K_m(kr)$ — модифицированные функции Бесселя первого и второго родов соответственно.

3. Эволюционное уравнение для амплитуд капиллярных волн

Подставляя решения (1) и выписанные проекты решений (3) в систему граничных условий (2), выражая неизвестные коэффициенты $C_m^{(j)}(t)$, где $j = 1-3$, через амплитуду деформации поверхности струи $\alpha_m(t)$, из динамического граничного условия на свободной поверхности струи можно найти дифференциальное уравнение второго порядка относительно неизвестных $\alpha_m(t)$

$$\frac{d^2 \alpha_m}{dt^2} + \omega_0^2 [1 - h \cos(2\Omega t)] \alpha_m = 0, \quad (4)$$

$$\begin{aligned}
 \omega_0^2 &\equiv g_m(k)(k^2 + m^2 - 1), \\
 h &\equiv \frac{w}{(m^2 + k^2 - 1)} \frac{(\varepsilon_{\text{in}} - \varepsilon_{\text{ex}})^2 k^2}{[\varepsilon_{\text{in}} g_m(k) - \varepsilon_{\text{ex}} d_m(k)]}, \quad w \equiv \frac{E_0^2}{4\pi}, \\
 g_m(k) &\equiv \frac{k I_m'(k)}{I_m(k)} \equiv m + \frac{k I_{m+1}(k)}{I_m(k)}, \\
 d_m(k) &\equiv \frac{k K_m'(k)}{K_m(k)} \equiv m - \frac{k K_{m+1}(k)}{K_m(k)},
 \end{aligned}$$

являющееся уравнением Матье. Штрихи при цилиндрических функциях $I_m(kr)$ и $L_m(kr)$ в (4) обозначают их производные по аргументу. Если положить $\Omega = 0$, т.е. рассмотреть струю в продольном электростатическом поле, то уравнение (4) приведет к обыкновенному уравнению гармонических колебаний с частотами $s = \pm \omega_0 \sqrt{1-h}$, а соответствующее дисперсионное уравнение примет вид

$$s^2 = g_m(k) \left\{ k^2 + m^2 - 1 + w \frac{(\varepsilon_{\text{in}} - \varepsilon_{\text{ex}})^2 k^2}{[\varepsilon_{\text{in}} g_m(k) - \varepsilon_{\text{ex}} d_m(k)]} \right\},$$

что согласуется с результатами [14–16].

Согласно общей теории уравнения Матье [17,18], оно имеет как параметрически устойчивые, так и параметрически неустойчивые экспоненциально нарастающие со временем решения. На плоскости параметров $(\omega_0/\Omega h)$ границы, разделяющие области существования устойчивых и неустойчивых решений, на которых сами решения являются периодическими функциями, определяются функциями Матье: $C_n(t)$ и $S_n(t)$ [17,18]. Области неустойчивости для уравнения (4) касаются оси абсцисс (оси, по которой отложены значения ω_0/Ω) в счетном количестве точек при $(\omega_0/\Omega)^2 = n^2$, где n — целое число. Каждая из зон при $h \ll 1$ на плоскости $(\omega_0/\Omega, h)$ образована двумя лучами, расходящимися из точек $(\omega_0/\Omega)^2 = n^2$ оси абсцисс с углами раствора, быстро убывающими с ростом n (см., например, [19]).

Положения первых трех зон, внутри которых реализуется параметрический резонанс между внешним силовым воздействием и капиллярными волнами в струе в приближении $h \ll 1$, определяются соотношениями [19]: первая зона (главный демумльтипликативный резонанс)

$$1 - \frac{h}{2} < \left(\frac{\omega_0}{\Omega} \right)^2 < 1 + \frac{h}{2}, \quad (5)$$

вторая зона (вторичный резонанс)

$$4 - \frac{h^2}{3} < \left(\frac{\omega_0}{\Omega} \right)^2 < 4 + \frac{5h^2}{3}, \quad (6)$$

третья зона (третичный резонанс)

$$9 + \frac{3^4 h^2}{2^6} - \frac{3^6 h^3}{2^9} < \left(\frac{\omega_0}{\Omega} \right)^2 < 9 + \frac{3^4 h^2}{2^6} + \frac{3^6 h^3}{2^9}. \quad (7)$$

Внутри указанных зон состояние равновесия $\alpha = 0$ оказывается неустойчивым, и в системе самовозбуждаются

колебания с экспоненциально увеличивающейся амплитудой. Из (5)–(7) видно, что углы раствора зон на плоскости значений $(h, \omega_0^2/\Omega^2)$ неустойчивости уменьшаются с увеличением номера зоны согласно (5), угол раствора первой зоны $\sim h$, второй и третьей, согласно (6), (7), $\sim h^2$ и $\sim h^3$ соответственно (напомним, что принято $h \ll 1$). Физический смысл выписанных соотношений сводится к следующему: волна с фиксированными волновым и азимутальными числами $(k$ и $m)$, полностью определяющими на поверхности цилиндрической струи в периодическом (изменяющемся с частотой Ω) электрическом поле амплитуды E_0 , коллинеарном оси струи, будет претерпевать параметрическую неустойчивость, если для нее выполнится одно из условий (5)–(7). При этом ее амплитуда увеличивается со временем по экспоненциальному закону.

Соотношения (5)–(7) при $h = \text{const}$ определяют ширины диапазонов волновых чисел волн, претерпевающих параметрическую неустойчивость. Так, из (5)–(7) можно найти, что волновые числа, в окрестности которых формируются диапазоны неустойчивых волн, определяются как решение алгебраического уравнения

$$\omega_0(k, m) \equiv \sqrt{g_m(k)(k^2 + m^2 - 1)} = n\Omega, \quad (8)$$

n — номер зоны неустойчивости. На рис. 1 приведены результаты графического решения уравнения (8) для случая $\Omega = 2$ (в размерном виде для струи воды радиусом $r = 10^{-2}$ см это соответствует $\Omega \approx 20$ kHz, поскольку частота обезразмеривается на $\sqrt{\gamma/\rho R^3}$) для первых трех значений азимутального числа $m = 0, 1, 2$. Искомые значения волновых чисел определяются точками пересечения кривых $\omega_0(k, m)$ и прямых $n\Omega$. Нижняя, коротко-пунктирная прямая, соответствующая $n = 1$ или главному демультимпликативному резонансу в точках

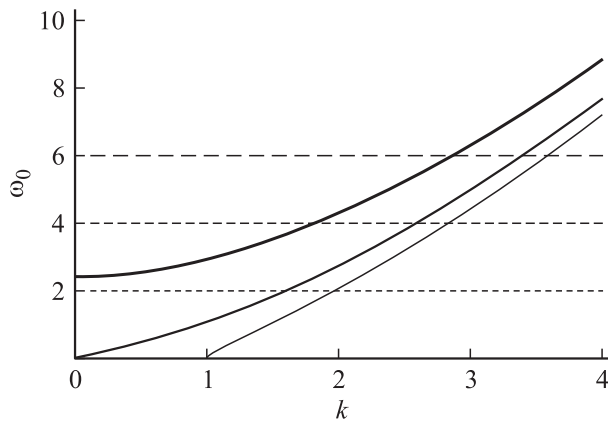


Рис. 1. Графики зависимости безразмерной частоты волн на поверхности струи от безразмерного волнового числа $(\omega_0 = \omega_0(k, m))$, построенные для различных значений азимутального числа $m = 0, 1, 2$ (сплошные линии с толщиной, увеличивающейся снизу вверх с увеличением m), пересеченные пунктирными прямыми, соответствующими различным значениям частоты внешнего электрического поля, взятой при $\Omega = 2$ и $n = 1, 2, 3$.

пересечения с кривыми $\omega_0(k, m)$, определяет волновые числа неустойчивых осесимметричной ($m = 0$) [15] и изгибной ($m = 1$) [20] волн, которые оказываются близкими по величинам. Расположенная выше среднепунктирная прямая, соответствует $n = 2$ (вторичному резонансу), а верхняя длинно-пунктирная прямая соответствует $n = 3$ (третичному резонансу). Волновые числа волн, параметрически возбуждаемых во вторичном и третичном резонансах, увеличиваются по сравнению с волнами, претерпевающими неустойчивость в демультимпликативном резонансе. Видно также, что теперь возбуждается и волна с $m = 2$, соответствующая электростатической неустойчивости боковой поверхности струи ($m = 2$) [21]. На рис. 1 хорошо заметно, что волновое число параметрически возбуждаемой во вторичном резонансе волны с $n = 2$ близко по величине к волновым числам осесимметричной и изгибной волнам, параметрически раскачиваемых в демультимпликативном резонансе. Сказанное означает возможность одновременной реализации параметрической неустойчивости волн с различной симметрией (с различными азимутальными числами) при неизменном значении частоты внешнего возбуждения Ω .

Ясно, что с увеличением частоты Ω увеличатся и волновые числа параметрически раскачиваемых волн. Для осесимметричных волн ($m = 0$) при уменьшении Ω волновые числа неустойчивых волн стремятся к $k = 1$, а для изгибных ($m = 1$) — к $k = 0$. Согласно рис. 1, для электростатической неустойчивости боковой поверхности струи ($m = 2$) существует нижний порог по частоте Ω , начиная с которого возможна ее реализация в области весьма малых значений волновых чисел ($k \sim 0$), по мере роста Ω волновое число неустойчивой волны с $m = 2$ увеличивается.

Согласно (5)–(7), углы раствора зон неустойчивости определяются различными степенями параметра h , который представим в виде $h \equiv wM(k, m, \varepsilon_{\text{in}}, \varepsilon_{\text{ex}})$. На рис. 2 для различных значений азимутального числа m приведены зависимости коэффициента $M \equiv M(k, m, \varepsilon_{\text{in}}, \varepsilon_{\text{ex}})$ от k и ε_{in} , построенные при $\varepsilon_{\text{ex}} = 1$. Из рис. 2, а видно, что коэффициент M для осесимметричных волн ($m = 0$) быстро растет до величин, измеряемых десятками, при уменьшении волнового числа и увеличении диэлектрической проницаемости жидкости. Для изгибных волн $m = 1$ тенденция изменения величины коэффициента M при варьировании k и ε_{in} сходная, но скорость нарастания величины M меньше. Для изгибно-деформационных волн с $m = 2$ (рис. 2, с) величина коэффициента M существенно превышает единицу в области $k > 1$ и $\varepsilon_{\text{in}} > 20$, не превышая, однако, в максимуме 20.

Параметр w в размерной форме записывается как $w \equiv E_0^2 R / 4\pi\gamma$. Напряженность поля электрического пробоя воздуха в постоянном однородном электрическом поле при атмосферном давлении, согласно [22], составляет ≈ 26 kV/cm ≈ 53 CGSE/cm. Диапазон изменения радиусов струй определим как $0.1 \text{ cm} > R > 10^{-3} \text{ cm}$ [2,23–25], а диапазон измене-

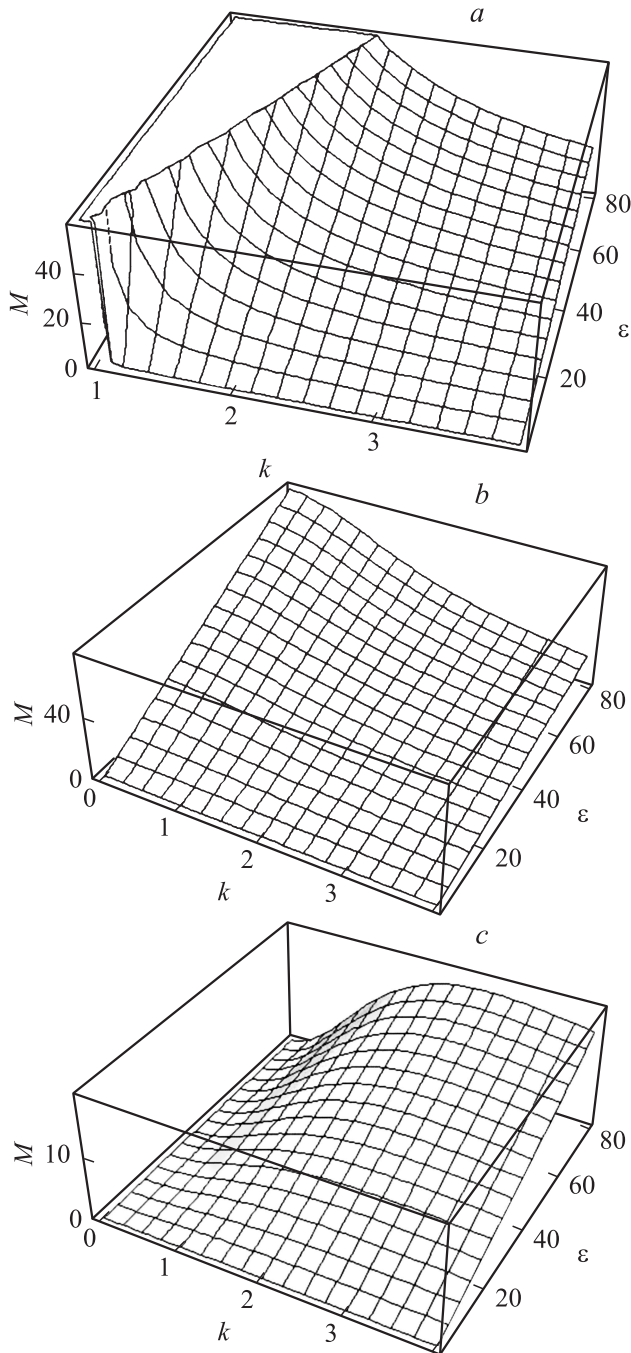


Рис. 2. Зависимости коэффициента $M \equiv M(k, m, \varepsilon_{in}, \varepsilon_{ex})$ от безразмерного волнового числа k и диэлектрической проницаемости жидкости ε_{in} , построенные при $\varepsilon_{ex} = 1$ для различных значений азимутального числа: $a - m = 0$; $b - m = 1$; $c - m = 2$.

ния величин коэффициентов поверхностного натяжения у жидкостей, использующихся при электродиспергировании от ≈ 2 дун/см для жидкого водорода до ≈ 1000 дун/см для неорганических веществ в жидком состоянии [23–27]. Тогда для возможных значений параметра w получим ограничение: $w \leq 1$.

В соответствии с рис. 2 величина всего параметра $h \equiv wM(k, m, \varepsilon_{in}, \varepsilon_{ex})$, а с ним и углы раствора зон

неустойчивости (см. (5)–(7)), согласно проведенным оценкам, будут увеличиваться с ростом ε_{in} и с уменьшением волнового числа для волн с $m = 0$ и $m = 1$, а для $m = 2$ будут иметь максимум при $2 < k < 3$.

4. Учет вязкости жидкости

Соотношения (5)–(7) не дают полной информации об условиях реализации параметрической неустойчивости капиллярных волн на поверхности струи, поскольку не учитывают их вязкого затухания. В приближении малой вязкости (в линейном приближении по вязкости) учет затухания можно провести добавлением в уравнение (4) слагаемого $2\mu \frac{d\alpha}{dt}$ [19], где μ — безразмерный декремент затухания, $\mu \ll 1$

$$\frac{d^2\alpha}{dt^2} + 2\mu \frac{d\alpha}{dt} + \omega_0^2[1 - h \cos(2\Omega t)]\alpha(t) = 0. \quad (9)$$

Зоны неустойчивости уравнения (9) немного сузятся по сравнению с зонами (5)–(7) и примут вид [19]

$$\begin{aligned} 1 - \sqrt{\frac{h^2}{4} - 4\left(\frac{\mu}{\Omega}\right)^2} < \left(\frac{\omega_0}{\Omega}\right)^2 < 1 + \sqrt{\frac{h^2}{4} - 4\left(\frac{\mu}{\Omega}\right)^2}, \\ 2^2 + \frac{2h^2}{3} - \sqrt{h^4 - 64\left(\frac{\mu}{\Omega}\right)^2} < \left(\frac{\omega_0}{\Omega}\right)^2 < 2^2 + \frac{2h^2}{3} \\ &+ \sqrt{h^4 - 64\left(\frac{\mu}{\Omega}\right)^2}, \\ 3^2 + \frac{3^4 h^2}{2^6} - 3^2 \sqrt{\frac{3^8 h^6}{2^{18}} - 4\left(\frac{\mu}{\Omega}\right)^2} < \left(\frac{\omega_0}{\Omega}\right)^2 < 3^2 + \frac{3^4 h^2}{2^6} \\ &+ 3^2 \sqrt{\frac{3^8 h^6}{2^{18}} - 4\left(\frac{\mu}{\Omega}\right)^2}. \end{aligned} \quad (10)$$

Поскольку вязкость считается малой, то мал и декремент, а следовательно, сужение зон неустойчивости, согласно (10), будет незначительно. Отметим, что аналитическое выражение для декремента затухания μ имеет вид [2]

$$\mu \equiv \nu [k^2 + m^2 - g_m(k)] \equiv \nu W(k, m) \quad (11)$$

или в размерном виде

$$\mu \equiv \frac{\nu}{R^2} [k^2 R^2 + m^2 - g_m(kR)].$$

На рис. 3 приведены зависимости коэффициента $W = W(k, m)$ от k для $m = 0, 1, 2$, построенные по (11). Видно, что в представляющем интерес в связи с проблемами электродиспергирования жидкости диапазоне волновых чисел $1 < k < 3$, коэффициент $W(k)$ изменяется от 0.5 до 5 для $m = 0$ и $m = 1$ и от 2 до 10 для $m = 2$. Для того чтобы декремент затухания был много меньше единицы, коэффициент безразмерной кинематической вязкости должен удовлетворять неравенству $\nu \ll 0.1$. Для получения малых значений безразмерной вязкости должен быть большим пара-

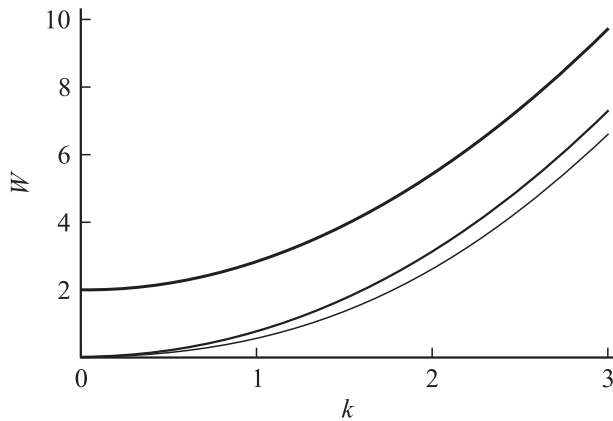


Рис. 3. Зависимости коэффициента $W \equiv W(k, m)$ от безразмерного волнового числа k , построенные для различных значений азимутального числа $m = 0, 1, 2$ (сплошные линии с толщиной, увеличивающейся снизу вверх с увеличением m).

метр обезразмеривания, который в нашей ситуации имеет вид $\nu_* \equiv \sqrt{R\gamma/\rho}$. Следовательно, параметр ν_* должен быть большим, что может быть достигнуто для больших радиусов струй жидкостей с большими значениями коэффициента поверхностного натяжения и малыми плотностями. Например, для воды условие $(\nu/\nu_*) \ll 0.1$ выполняется при $R > 1.5 \cdot 10^{-4}$ см, для этилового спирта при $R > 1.6 \cdot 10^{-3}$ см, для керосина — $R > 4.5 \cdot 10^{-3}$ см.

Кроме сказанного учет вязкого затухания капиллярных волн проявится в появлении порога по амплитуде внешнего электрического поля E_0 (по w), начиная с которого будет возможна реализация параметрической неустойчивости. Для первых трех зон эти пороги имеют вид [19]:

первая зона

$$h > 2 \frac{\mu}{\Omega},$$

вторая зона

$$h > 2 \sqrt{\frac{\mu}{\Omega}},$$

третья зона

$$h > \frac{8}{3\sqrt[3]{3}} \sqrt[3]{\frac{\mu}{\Omega}}. \quad (12)$$

Из выписанных соотношений видно, что в соответствии с общей идеологией теории уравнения Матье–Хилла легче всего возбуждается резонанс $\omega_0 \approx \Omega$. Для реализации второго резонанса, $\omega_0 \approx 2\Omega$, требуется большая глубина модуляции периодического внешнего воздействия h . Еще труднее возбудить третий резонанс: $\omega_0 \approx 3\Omega$. Посмотрим, как эти условия реализуются в анализируемой ситуации раскочки капиллярных волн.

Соотношения (12) с учетом (4), (10) можно переписать в виде условий на амплитуду напряженности электрического поля в виде:

первая зона

$$w > 2 \frac{\mu}{\Omega} M^{-1}(k, m, \epsilon_{in}, \epsilon_{ex}) \equiv 2 \frac{\mu}{\Omega} H(k, m, \epsilon_{in}, \epsilon_{ex}),$$

$$H(k, m, \epsilon_{in}, \epsilon_{ex}) \equiv \frac{[\epsilon_{in} g_m(k) - \epsilon_{ex} d_m(k)](m^2 + k^2 - 1)}{(\epsilon_{in} - \epsilon_{ex})^2 k^2},$$

вторая зона

$$w > 2 \sqrt{\frac{\mu}{\Omega}} H(k, m, \epsilon_{in}, \epsilon_{ex}),$$

третья зона

$$w > \frac{8}{3\sqrt[3]{3}} \sqrt[3]{\frac{\mu}{\Omega}} H(k, m, \epsilon_{in}, \epsilon_{ex}). \quad (13)$$

На рис. 4, для различных значений азимутального числа m приведены рассчитанные зависимости $H \equiv H(k, m, \epsilon_{in}, \epsilon_{ex})$ от k и ϵ_{in} , построенные при $\epsilon_{ex} = 1$. Расчеты показывают (см. рис. 4, b), что коэффициент H

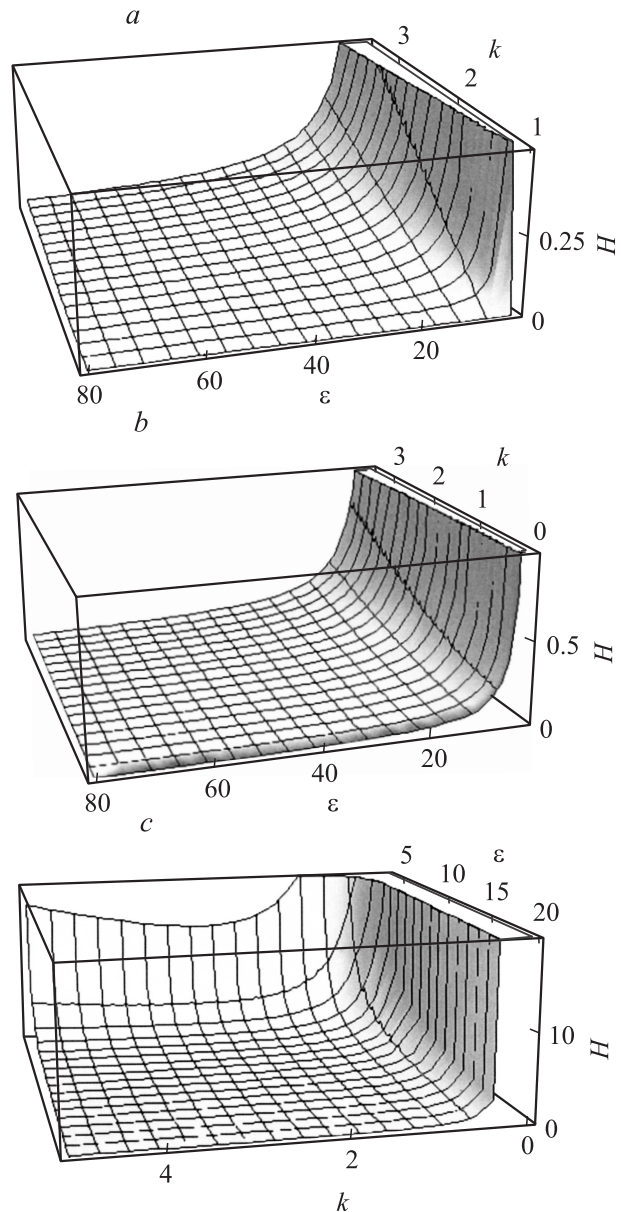


Рис. 4. Зависимости коэффициента $H \equiv H(k, m, \epsilon_{in}, \epsilon_{ex})$ от безразмерного волнового числа k и диэлектрической проницаемости жидкости ϵ_{ex} , для различных значений азимутального числа: a — $m = 0$; b — $m = 1$; c — $m = 2$.

на большей части области значений k и ε_{in} мал, измеряется сотыми долями единицы, но быстро растет при уменьшении диэлектрической проницаемости жидкости до $\varepsilon_{in} < 3$ для осесимметричных волн ($m = 0$) и до $\varepsilon_{in} < 5$ для изгибных. Как видно из рис. 4, с, для волн с $m = 2$ сохраняется тенденция к увеличению H с уменьшением диэлектрической проницаемости жидкости, а также появляется тенденция к быстрому росту с уменьшением волнового числа в области $k \leq 1$. На остальной области значений k и ε_{in} , согласно проведенным расчетам, коэффициент H мал, а его величина не превышает пяти десятых долей единицы.

Учтем теперь, что проводимый анализ влияния вязкости на закономерности реализации параметрического резонанса имеет смысл лишь для малых значений величины декремента затухания $\mu \ll 1$. Положим в (13), что $(\mu/\Omega) \sim 0.1$, тогда неравенства (13) для первой и второй зон будут согласовываться с условием отсутствия электрического пробоя в окрестности струи $w \leq 1$, для осесимметричных и изгибных волн на большей части области значений k и ε_{in} , приведенных на рис. 4. Но для изгибно-деформационных волн обсуждаемые два условия одновременно могут выполняться лишь для жидкостей с большими значениями диэлектрической проницаемости $\varepsilon_{in} > 30$, где коэффициент H мал.

Заключение

В проведенном исследовании выяснилось, что коллинеарное оси невозмущенной цилиндрической струи жидкости однородное периодическое во времени электрическое поле вызывает параметрическую раскачку волн с различными азимутальными числами на поверхности струи. На одной частоте внешнего электрического поля возможна одновременная раскачка в резонансах различных типов (при $\omega_0(k, m) = \Omega$, $\omega_0(k, m) = 2\Omega$, $\omega_0(k, m) = 3\Omega$) волн различной длины с различными азимутальными числами.

Работа выполнена при поддержке грантов Рособразования № РНП 2.1.1/3776, РФФИ № 09-01-00084 и № 09-08-00148.

Список литературы

- [1] Ентов В.М., Ярин А.Л. // ВИНТИ. Итоги науки и техники. Сер. механика жидкости и газа. 1984. Т. 17. С. 112–197.
- [2] Ширяева С.О., Григорьев А.И., Волкова М.В. Спонтанный капиллярный распад заряженных струй. Ярославль: Изд-во ЯрГУ, 2007. 340 с.
- [3] Eggers H., Willermaux E. // Rep. Prog. Phys. 2008. Vol. 71. N 036 601. P. 1–79.
- [4] Raco R.J. // AIAA Journal. 1968. Vol. 6. N 5. P. 979–980.
- [5] El-Sayed M.F., Mohamed A.A., Metwaly T.N.M. // Physica A. 2007. Vol. 379. N 1. P. 59–80.
- [6] Демехин Е.А., Полянских С.В. // ПМТФ. 2009. Т. 50. № 5. С. 56–66.
- [7] Демехин Е.А., Полянских С.В. // ПМТФ. 2010. Т. 51. № 1. С. 39–53.
- [8] El-Sayed M.F., Mohamed A.A., Metwaly T.N.M. // Physica A. 2005. Vol. 345. N 3–4. P. 367–394.
- [9] Yeo L.Y., Lastochkin D., Chau-Chan Wang, Hsueh-Chia Chang // Phys. Rev. Lett. 2004. N 92. P. 13 390–(2–6).
- [10] Maheshwary S., Hsueh-Chia Chang // J. Appl. Phys. 2007. Vol. 102. P. 034 902–(1–6).
- [11] Maheshwary S., Hsueh-Chia Chang // Adv. Mat. 2009. Vol. 21. P. 349–354.
- [12] Френкель Я.И. // ЖЭТФ. 1936. Т. 6. № 4. С. 348–350.
- [13] Ландау Л.Д., Лифшиц Е.М. Электродинамика сплошных сред. М.: Наука, 1982. 620 с.
- [14] Ширяева С.О., Григорьев А.И., Волкова М.В. // ЭОМ. 2009. № 3. С. 28–34.
- [15] Ширяева С.О. // ЖТФ. 2010. Т. 80. Вып. 2. С. 45–50.
- [16] Ширяева С.О. // Изв. РАН. МЖГ. 2010. № 3. С. 57–68.
- [17] Морс Ф.М., Фешбах Г. Методы теоретической физики. Т. 2. М.: ИЛ, 1060. 886 с.
- [18] Абрамовиц М., Стиган И. // Справочник по специальным функциям. М.: Наука, 1979. 830 с.
- [19] Боголюбов Н.Н., Митропольский Ю.А. Асимптотические методы в теории нелинейных колебаний. М.: Наука, 1974. 503 с.
- [20] Ширяева С.О. // ЖТФ. 2010. Т. 80. Вып. 4. С. 24–31.
- [21] Григорьев А.И. // ЖТФ. 2009. Т. 79. Вып. 2. С. 36–45.
- [22] Александров А.Ф., Бычков В.Л., Грачев Л.П. и др. // ЖТФ. 2006. Т. 76. Вып. 3. С. 38–43.
- [23] Cloureau M., Prunet Foch B. // J. Electrostatics. 1990. Vol. 25. P. 165–184.
- [24] Jaworek A., Krupa A. // J. Aerosol Sci. 1999. Vol. 30. N 7. P. 873–893.
- [25] Ширяева С.О., Григорьев А.И., Святченко А.А. Классификация режимов работы электрогидродинамических источников ионов. Препринт ИМРАН № 25. Ярославль, 1993. 118 с.
- [26] Таблицы физических величин. Справочник / Под ред. И.К. Кикоина. М.: Атомиздат, 1976. 1008 с.
- [27] Справочник химика / Под ред. Б.П. Никольского. Т. 1. Л.: Химия, 1971. 1072 с.